

首都高速道路公団海岸線連絡局 正員 和田亮武  
東洋技研コンサルタント(株) 中田元仁

### 1. まえがき

钢管矢板井筒基礎はケーリングとくい基礎の半間的な存在といわれるが、その設計法は通常、「矢板式基礎の設計と施工指針」(以下「指針」とする)の弹性地盤内の有限長パリの理論(以下現行法とする)によっている。

現在钢管井筒の実施例の増加に伴う井筒の大型化にともない設計法自体の見直しの必要性が生じているといえる。これに対し钢管井筒で最も問題となる壁のせん断変形を考慮した解法として、建設省土木研究所で開発されたアプロラム<sup>※2</sup>、(以下土研式とよぶ)、および川崎製鉄(株)により開発された壁柱と板樋部材とし立立体骨組解析によるもの<sup>※3</sup>(以下川鉄式とよぶ)がある。これらを旧江戸川の実橋用の钢管矢板井筒基礎における水平載荷試験に適用し、実測値の対比を行なったが、その結果の一端をここに報告する。

### 2. 試験の内容

試験体は図-1に示すとおりで、図示の位置に水平力  $H = 200 t, 400 t, 600 t, 800 t$  を載荷した。その測定結果の一部として井筒の水平変位、井筒全体の曲げモーメント(測定応力度からの計算値)、钢管矢板の応力度を図-4、5、6に示す。

### 3. 解析条件

(1) 水平地盤反力係数; 水平地盤反力係数( $KH$ )は「指針」による値を基準とするが、これによる  $KH$  は一般に小さすぎるところはいくつつかの報告書で指摘されている。

この理由は次の①～③によるものと推定される。①地盤バネは変位に対して非線形を有している。②井筒前面での水平抵抗だけでなく背面矢板への内部土の抵抗が無視できまい。③内部土のせん断剛性による抵抗。等の理由より基準  $KH$  に対する補正係数  $\alpha$  (すなはち  $KH = \alpha KH$ ) をパラメータとして取った。

(2) 犀牛のせん断剛性および合成功率; 犀牛の剛性としては深さ方向のせん断剛性  $G_f$  と、井筒の輪切断面の変形に関する剛性があるが、ここでは前者の深さ方向のせん断剛性のみを取りあげる。犀牛剛性の実験値として  $G_f = 120,000 \text{ t/mm}^2 \sim 25,000 \text{ t/mm}^2$  のせん断剛性  $\alpha = 20 \sim 30 \%$  が示されており、土研式、川鉄式にはこれらの値を用いた。また、現行法では犀牛のせん断变形を合成功率  $\mu$  を用い、井筒の曲げ剛性  $EI$  の低減をはかっているので、この合成功率  $\mu$  をパラメーターとして取った。

(3) 地盤の塑性化; 側面地盤の降伏を考慮した、弾塑性解析によった。降伏反力を支動土圧強度に等しいものと仮定し、地盤の強度係数などは図-1に示すとおりである。なお、計算結果では  $H = 200 t$  で弾性解、 $H = 400 t$  でも弾性解に近く、 $H = 600 t, 800 t$  で弾塑性解となつた。

### 4. 水平地盤反力係数の補正係数 $\alpha$ と合成功率 $\mu$ の推定

現行法に対して  $KH$  の補正係数  $\alpha$ 、 $EI$  の補正としての合成功率  $\mu$  をパラメーターとして各荷重毎に計算した結果を図-2に示す。さらに土研式、川鉄式に対し、 $\alpha$  をパラメーターとした結果をも示してある。

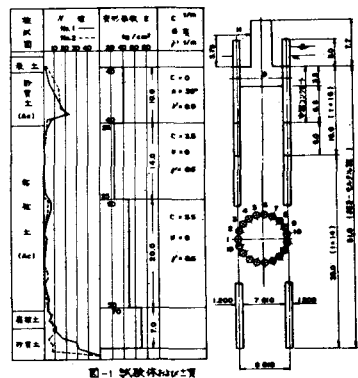


図-1 試験体概要図

\*1 ; 「矢板式基礎の設計と施工指針」昭和47年1月 矢板式基礎研究委員会

\*2 ; 土木研究所資料 第1175号「矢板式基礎の設計法」昭和52年2月 建設省土木研究所

\*3 ; 「大型钢管矢板井筒基礎解析のプログラム取扱い説明書」昭和53年2月 川崎製鉄(株)

これよりのおよび $\mu$ について整理すると表-1のようになる。

ここで $KH$ の補正係数 $\alpha$ は $KH = \alpha KH = (1+\alpha)(1+\beta)\gamma^2$ 、 $KH$ と仮定でき、 $\alpha$ は側面地盤のせん断反力係数 $KHS$ と前面地盤の $KH$ との比、 $\beta$ は背面矢板に対する井筒内部土による水平地盤反力係数 $Khr$ と前面の $KH$ との比、 $\gamma^2$ は変位量による補正と考えることができる。今、 $\alpha = 0.2$ 、 $\beta$ を明確なデータはないが、これを0.6とすると $(1+\alpha)(1+\beta) = 1.9$ となり、 $H = 800\text{t}$ の時の $\alpha = 2.7$ に対しても変位量による補正が必要となることを示す。

5. 井筒の変位分布および全体曲げモーメント分布、鋼管の応力分布、 $H = 800\text{t}$ 、 $400\text{t}$ に対する井筒変位分布および、全体曲げモーメント分布を図-4、5に示す。全体曲げモーメントの実測値は応力測定値より逆算したものである。これによると、実測値の測定誤差などを考慮すれば十分の精度を有していると考えられる。また現行法と厳密解である土研式、川鉄式の比較でもそのバラッキは小さく見なせる。

図-6は $H = 800\text{t}$ 時のNo.10の鋼管の応力分布で、現行法の値は「指針」に示された、 $\sigma = \frac{\gamma}{K} A_0 \pm M_0 \left( \frac{1-\eta}{E_0 Z_0} + \frac{\eta}{E_0} \right)$ において $\eta = 0.98$ としたものである。

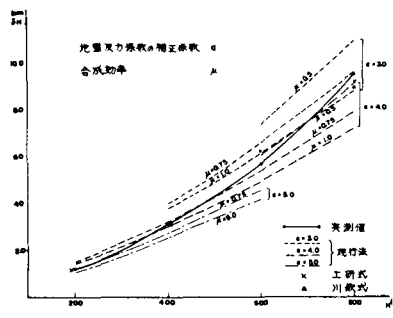


図-3 井筒下端変位と拘束率

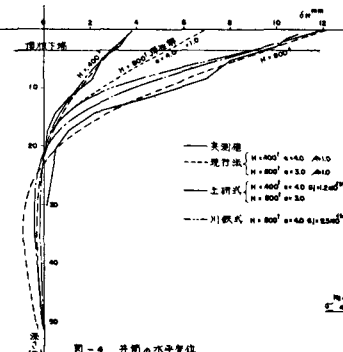


図-4 井筒の水平変位

## 6. あとがき

井筒の曲げモーメン、鋼管の応力度は水平地盤反力係数および現行法における拘束効率 $\mu$ にさほど影響されず、通常の井筒形状の場合、現行法による設計で多少安全側の設計にひるむだけである。しかし変位を問題とする場合、通常の井筒形状（今回の試験体で $\mu = 0.2$ ）でも、水平地盤抵抗に対する前面、側面の要素だけでなく内部土による抵抗要素を考え、さらに変位レベルによる補正も必要であるといえる。この変位レベルによる補正是一提言として述べれば、井筒頭部の変位に対し全体を補正するのではなく、水平方向の変位レベルの差に対し段階的に補正を行なう方法（一種の非線形解）が考えられる。いい基礎のように簡単に水平載荷試験の行なえりの鋼管井筒では、フレシオ値より変位レベルに応じた $\lambda$ 値を求めるぐらいの考証をかけてよいのではないかと思われる。子午鋼管井筒の大型化、偏平化にともない、離寸のせん断变形、井筒内部土の水平抵抗、さらには井筒の断面变形等の考慮が必要となるのは明らかであり、土研式、川鉄式による設計、およびこれらによる水平載荷試験の解析等によるデータの蓄積が必要と思われる。最後に電算プログラムの使用に際して、川崎製鉄(株)の御協力をいただいたことを感謝いたします。

表-1 前壁 $H$ と $\alpha$ および $\mu$ の関係

$H(\text{t})$	200	400	600	800
$\alpha$	5.2	3.9	3.3	2.7
$\mu$	0.9 ~ 1.0			

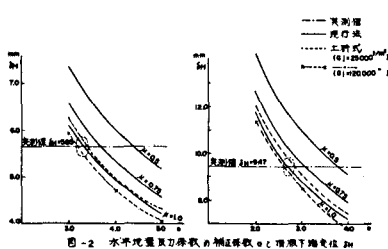
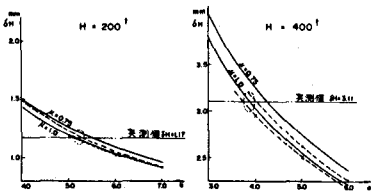


図-2 水平地盤反力係数の補正係数 $\alpha$ と頂端下端変位 $e$

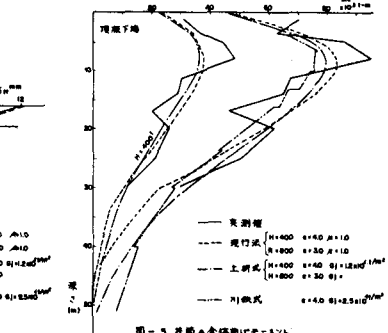


図-5 井筒の全曲げモーメント

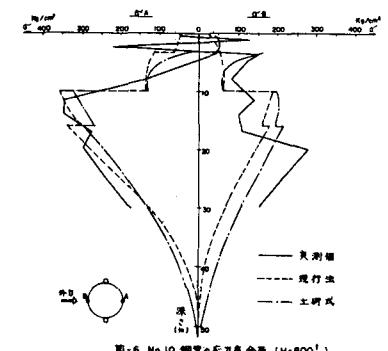


図-6 No.10 鋼管の応力分布 $(H=800\text{t})$